

TEORIA STEROWANIA 2  
Sprawozdanie z laboratorium nr 1  
**Portrety fazowe**



Roman Nowak, WEAIIB, Automatyka i Robotyka

17 marca 2024

## Spis treści

<b>1. Cel ćwiczenia</b>	<b>3</b>
<b>2. Przebieg ćwiczenia</b>	<b>4</b>
2.1. Przygotowanie macierzy . . . . .	4
2.2. Przygotowanie wykresów . . . . .	4
2.3. Prezentacja wyników . . . . .	5
2.3.1. Węzeł asymptotycznie stabilny . . . . .	5
2.3.2. Siodło . . . . .	6
2.3.3. Ognisko stabilne . . . . .	6
2.3.4. Środek . . . . .	7
2.3.5. Węzeł zdegenerowany stabilny . . . . .	8
2.3.6. Węzeł zdegenerowany niestabilny . . . . .	8
2.3.7. Gwiazda stabilna . . . . .	9
2.3.8. Gwiazda niestabilna . . . . .	10
2.3.9. Jedna z wartości własnych zerowa . . . . .	10
2.3.10. Obie wartości własne zerowe . . . . .	11
2.3.11. Zerowa macierz $A$ . . . . .	12
<b>3. Wnioski</b>	<b>13</b>

## 1. Cel ćwiczenia

Ćwiczenie polegało na wyznaczeniu oraz wyrysowaniu na wykresach w programie Matlab portretów fazowych dla obiektów określonych następującym równaniem stanu:

$$\begin{bmatrix} \dot{x}_1 \\ \dot{x}_2 \end{bmatrix} = A \begin{bmatrix} x_1 \\ x_2 \end{bmatrix} \quad (1)$$

oraz równaniem wyjść:

$$\begin{bmatrix} y_1 \\ y_2 \end{bmatrix} = \begin{bmatrix} 1 & 0 \\ 0 & 1 \end{bmatrix} \begin{bmatrix} x_1 \\ x_2 \end{bmatrix} \quad (2)$$

Dla różnych macierzy  $A_{2 \times 2}$ , dobranych w taki sposób, aby otrzymać wszystkie z typów portretów fazowych, przedstawionych w tabeli nr 1.

**Tab. 1** - Różne rodzaje portretów fazowych w zależności od wartości własnych macierzy A.

Wyznacznik	Wartości własne	Typ portretu
różny od 0	rzeczywiste, różne, jednakowego znaku	węzeł
	rzeczywiste, przeciwnych znaków	siodło
	zespolone, sprzężone, niezerowe	ognisko
	urojone, sprzężone	środek
	rzeczywiste, równe, niezerowe, jeden wektor własny	węzeł zdegenerowany
	rzeczywiste, równe, niezerowe, dwa wektory własne	gwiazda
równy 0	rzeczywiste, jedna równa 0	-
	zerowe	-
	$A = 0$	-

Źródło: [1]

Dodatkowo należy przedstawić porównać je z portretami dla postaci kanonicznych - Jordana, tych macierzy oraz rozważyć dane typy portretów również dla układów niestabilnych.

Celem ćwiczenia jest zapoznanie się z różnymi typami możliwych typów portretów fazowych dla układów dynamicznych oraz przeanalizowanie wpływu wartości macierzy A, na ich postać.

## 2. Przebieg ćwiczenia

### 2.1. Przygotowanie macierzy

Jako macierze A, w celu zamodelowania układów i wyrysowania portretów fazowych, zostały przyjęte przykładowe macierze ze skryptu [1]. Dla uzyskania pozostałych, nie zawartych jako przykłady w podręczniku, użyto kodu w Matlabie:

```
1 function [A, Ak] = example_matrix(poles)
2     % param: poles - Bieguny, zadane wartosci wlasne
3     [num, den] = tfdata(zpk(0, poles, 1, 1));
4
5     A = tf2ss(num{1}, den{1}); % Macierz A
6     Ak = jordan(A); % Postac kanoniczna
7 end
```

Skrypt ten, oblicza wartości macierzy A oraz macierzy dla niej kanonicznej (macierz Jordana), na podstawie podanych wartości własnych. Wiedząc, że w przypadku gdy bieguny znajdują się po lewej stronie płaszczyzny zespolonej, układ jest stabilny, a gdy po prawej, nie, można znaleźć również przykładowe macierze dla niestabilnych układów danych typów.

### 2.2. Przygotowanie wykresów

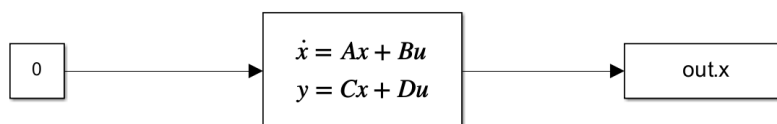
Do przygotowania wykresów został użyty skrypt w programie Matlab:

```
1 function [] = draw_phase()
2     global A x0
3     T=6;
4     [w, J] = eig(A);
5     figure; hold on; grid on;
6     a = 0 : pi/20 : 2*pi; X1 = [cos(a); sin(a)];
7     X2 = X1 ./ [max(abs(X1)); max(abs(X1))]; M = size(X2, 2);
8
9     for i = 1:M
10        x0 = X2(:, i);
11        puste = sim('model.slx', T);
12        x = puste.x.signals.values;
13        % Strzałki na portrecie fazowym
14        quiver(x(:,1), x(:,2), gradient(x(:, 1)), gradient(x(:, 2)), "k");
15        % Portret fazowy
16        plot(x(:, 1), x(:,2), 'k-');
17        % Wektory wlasne - strzałki
18        quiver(0, 0, w(1, 1), w(2,1), 'r', "LineWidth", 3);
19        quiver(0, 0, w(1, 2), w(2,2), 'r', "LineWidth", 3);
20        % Zbiory rownowagi - policzone wedlug rownania Ax = [0; 0]
21        plot(0, 0, "go", "MarkerSize", 7, "MarkerFaceColor", "g")
22
23        title(['lambda(A) = [', num2str(J(1,1)), ', ', num2str(J(2,2)), '']
24    );
25        xlabel('x1'); ylabel('x2');
26    end
27 end
```

Program ten wielokrotnie wywołuje w pętli, dla różnych wartości początkowych symulacje układu zamodelowanego w Simulinku. Jego funkcjonalność to stworzenie portretu fazowego

dla macierzy  $A$  i układu zamodelowanego w Simulinku (rys. 1). Funkcje *quiver* zastosowano w celu zaznaczenia kierunku trajektorii fazowych za pomocą strzałek. Kierunki otrzymywane są za pomocą obliczania gradientów. Dodatkowo na wykres nakładane są wektory własne macierzy  $A$ . Są one wyrysowywane na **czzerwono**. Oprócz tego na **zielono**, oznaczono zbiory / punkty równowagi, będące rozwiązaniem równania:

$$0 = A \begin{bmatrix} x_1 \\ x_2 \end{bmatrix} \quad (3)$$



**Rys. 1** - Model układu w Simulinku, stworzony przez wykorzystanie bloku *State-Space*.

## 2.3. Prezentacja wyników

### 2.3.1. Węzeł asymptotycznie stabilny

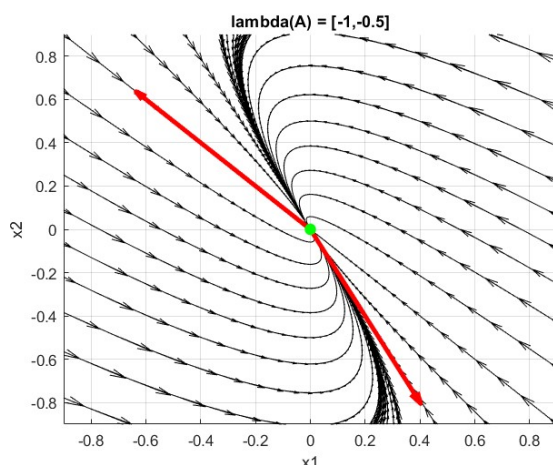
Wartości własne analizowanego układu:  $\lambda_1 = -1, \lambda_2 = -0.5$

Macierz  $A$ :

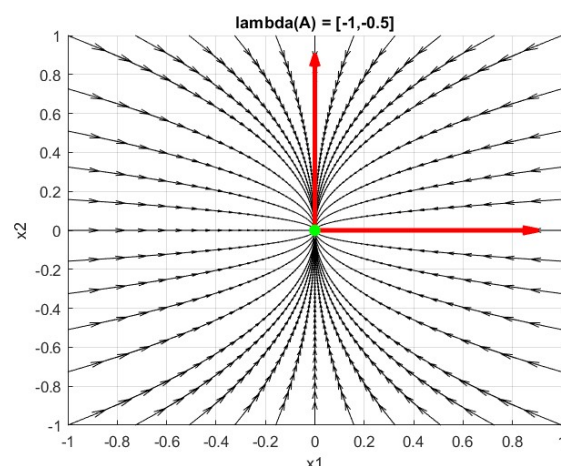
$$A = \begin{bmatrix} -1.5 & -0.5 \\ 1 & 0 \end{bmatrix}$$

Postać kanoniczna macierzy  $A$ :

$$A_k = \begin{bmatrix} -1 & 0 \\ 0 & -0.5 \end{bmatrix}$$



**Rys. 2** - Portret fazowy. Obserwując zwroty strzałek, można zaobserwować, że układ dąży do stabilnego, jedynego punktu równowagi w punkcie  $(0,0)$ .



**Rys. 3** - Portret dla postaci kanonicznej macierzy. Dzięki takiemu przekształceniu, portret nie ulega odkształceniu.

### 2.3.2. Siodło

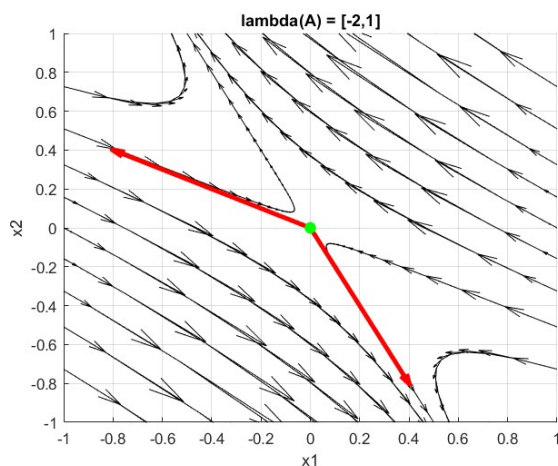
Wartości własne analizowanego układu:  $\lambda_1 = -2, \lambda_2 = 1$

Macierz A:

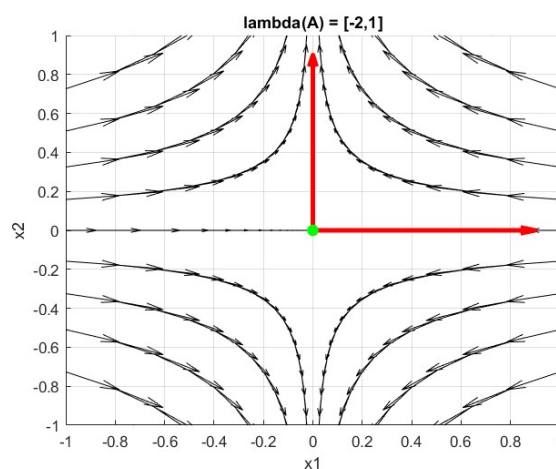
$$A = \begin{bmatrix} -3 & -2 \\ 2 & 2 \end{bmatrix}$$

Postać kanoniczna macierzy A:

$$A_k = \begin{bmatrix} -2 & 0 \\ 0 & 1 \end{bmatrix}$$



**Rys. 4** - Portret fazowy. Obserwując zwroty strzałek, można zaobserwować, że układ ma jeden, niestabilny punkt równowagi w punkcie  $(0,0)$ .



**Rys. 5** - Portret dla postaci kanonicznej macierzy. Wektory własne prostopadłe do siebie i równoległe do osi.

### 2.3.3. Ognisko stabilne

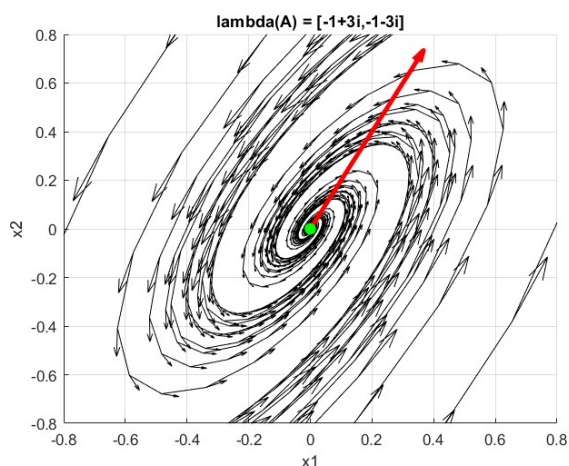
Wartości własne analizowanego układu:  $\lambda_1 = -1 + 3j, \lambda_2 = -1 - 3j$

Macierz A:

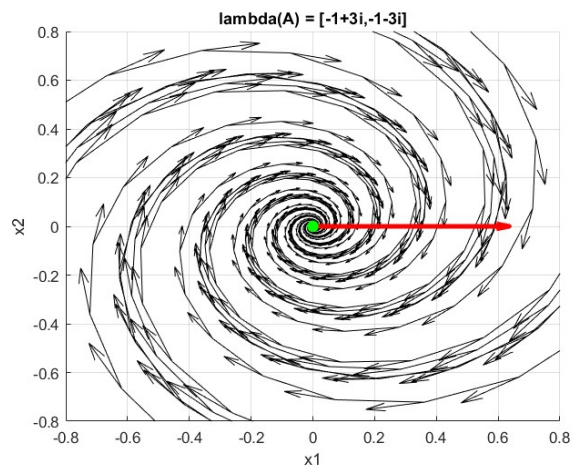
$$A = \begin{bmatrix} 2 & -3 \\ 6 & -4 \end{bmatrix}$$

Postać kanoniczna macierzy A:

$$A_k = \begin{bmatrix} -1 & 3 \\ -3 & -1 \end{bmatrix}$$



**Rys. 6** - Portret fazowy. Stabilny punkt równowagi w  $(0,0)$ .



**Rys. 7** - Portret dla postaci kanonicznej macierzy  $A$  jest symetryczny względem punktu  $(0,0)$ .

### 2.3.4. Środek

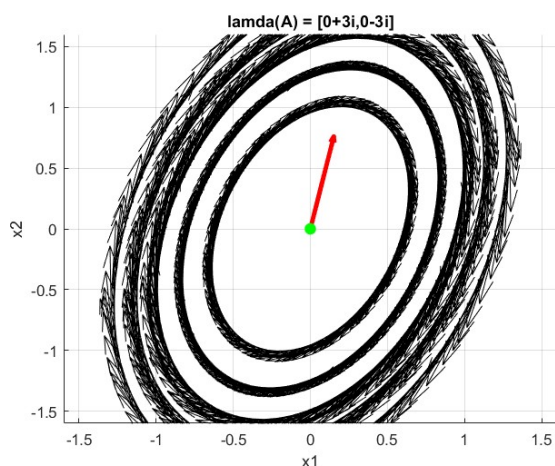
Wartości własne analizowanego układu:  $\lambda_1 = -3j, \lambda_2 = 3j$

Macierz  $A$ :

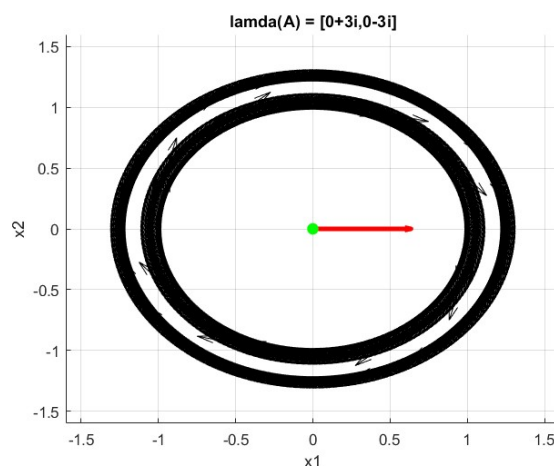
$$A = \begin{bmatrix} -1 & 2 \\ -5 & 1 \end{bmatrix}$$

Postać kanoniczna macierzy  $A$ :

$$A_k = \begin{bmatrix} 0 & 3 \\ -3 & 0 \end{bmatrix}$$



**Rys. 8** - Trajektorie fazowe tworzą zamknięte eliptyczne orbity, okrążające punkt  $(0,0)$ .



**Rys. 9** - Dla postaci kanonicznej, trajektorie tworzą okręgi.

### 2.3.5. Węzeł zdegenerowany stabilny

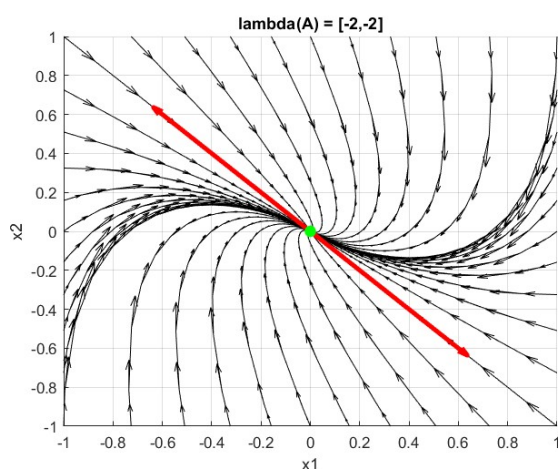
Wartości własne analizowanego układu:  $\lambda_1 = \lambda_2 = -2$ . Jeden liniowo niezależny wektor własny.

Macierz A:

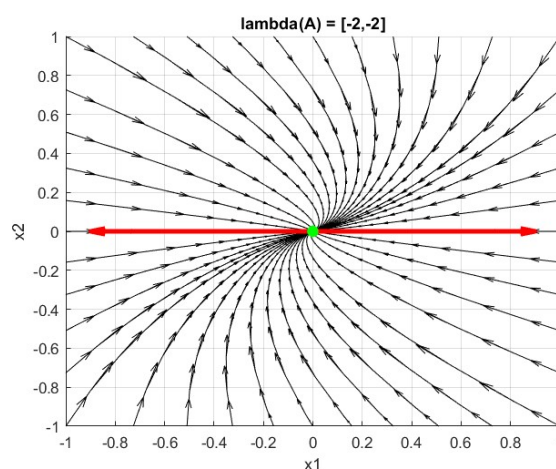
$$A = \begin{bmatrix} -1 & 1 \\ -1 & -3 \end{bmatrix}$$

Postać kanoniczna macierzy A:

$$A_k = \begin{bmatrix} -2 & 1 \\ 0 & -2 \end{bmatrix}$$



**Rys. 10** - Portret fazowy. Układ dąży do stanu w punkcie (0,0).



**Rys. 11** - Portret dla postaci kanonicznej macierzy. Wektory własne równoległe z osią  $x$ .

### 2.3.6. Węzeł zdegenerowany niestabilny

Wartości własne analizowanego układu:  $\lambda_1 = \lambda_2 = 2$ . Jeden liniowo niezależny wektor własny.

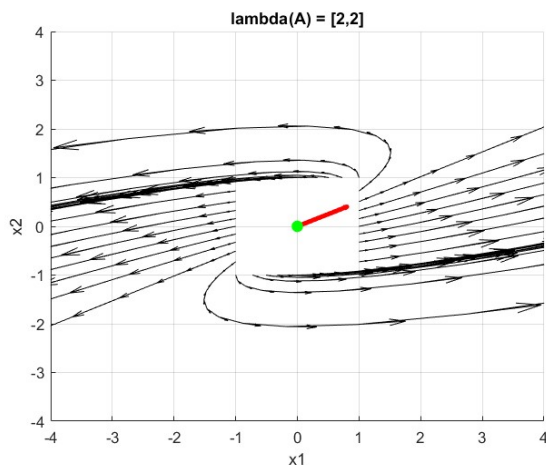
Macierz A:

$$A = \begin{bmatrix} 4 & -4 \\ 1 & 0 \end{bmatrix}$$

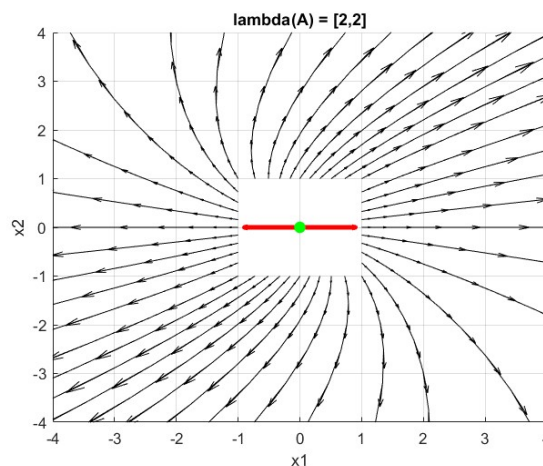
Postać kanoniczna macierzy A:

$$A_k = \begin{bmatrix} 2 & 1 \\ 0 & 2 \end{bmatrix}$$





**Rys. 12** - Dzięki zwrotom strzałek, zaznaczonym na portrecie fazowym, można zauważyć, że układ jest niestabilny - dla każdego z punktów początkowych, wartości zmiennych stanu oddalają się od jedynej, niestabilnego punktu równowagi w  $(0,0)$ .



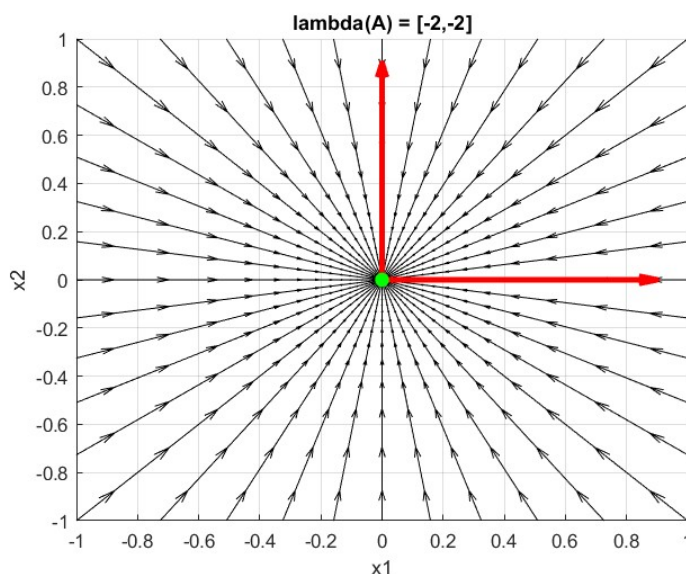
**Rys. 13** - Portret dla postaci kanonicznej macierzy.

### 2.3.7. Gwiazda stabilna

Wartości własne analizowanego układu:  $\lambda_1 = \lambda_2 = -2$ . Dwa liniowo niezależne wektory własne.

Macierz A:

$$A = \begin{bmatrix} -2 & 0 \\ 0 & -2 \end{bmatrix}$$



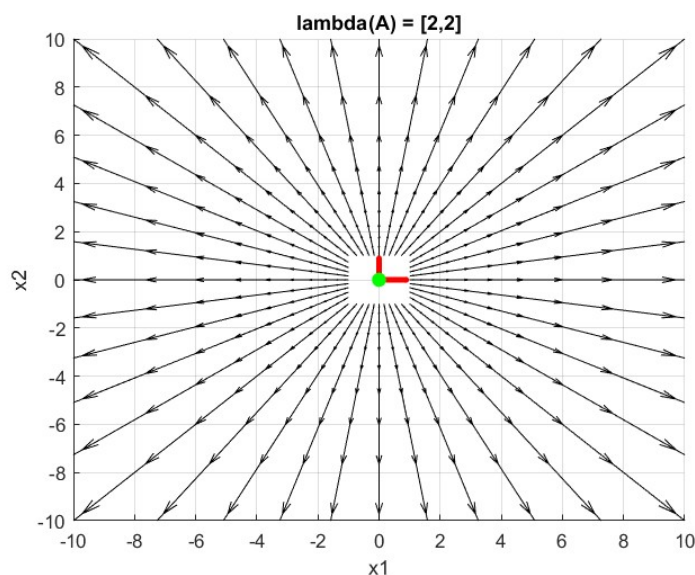
**Rys. 14** - W przypadku gwiazdy, zmienne stanu po prostych dążą do stabilnego punktu równowagi w  $(0,0)$ .

### 2.3.8. Gwiazda niestabilna

Wartości własne analizowanego układu:  $\lambda_1 = \lambda_2 = 2$ . Dwa liniowo niezależne wektory własne.

Macierz A:

$$A = \begin{bmatrix} 2 & 0 \\ 0 & 2 \end{bmatrix}$$



**Rys. 15** - Gwiazda niestabilna. Strzałki skierowane są na zewnątrz punktu (0,0).

### 2.3.9. Jedna z wartości własnych zerowa

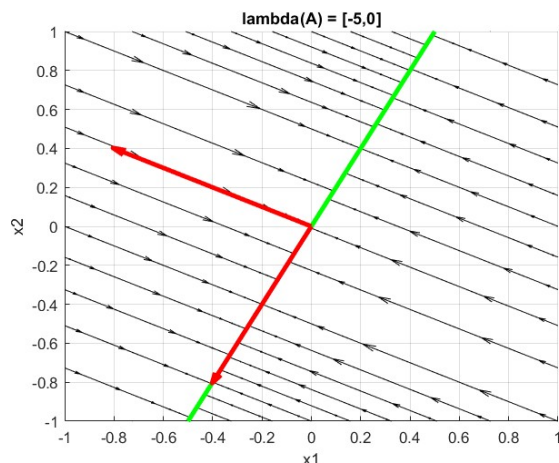
Wartości własne analizowanego układu:  $\lambda_1 = -5, \lambda_2 = 0$ .

Macierz A:

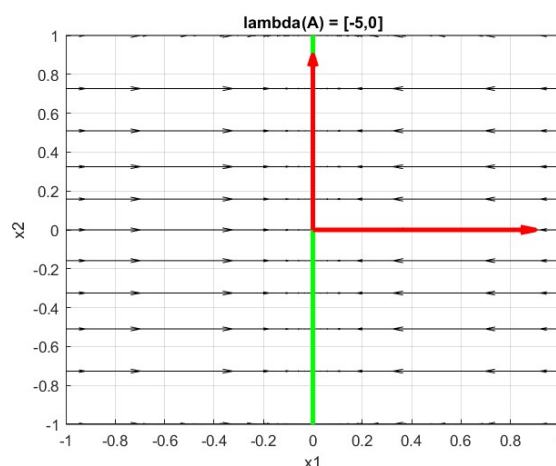
$$A = \begin{bmatrix} -4 & 2 \\ 2 & -1 \end{bmatrix}$$

Postać kanoniczna macierzy A:

$$A_k = \begin{bmatrix} -5 & 0 \\ 0 & 0 \end{bmatrix}$$



**Rys. 16** - Układ dąży do jednego z nieskończenie wielu punktów równowagi, znajdujących się na prostej  $x_2 = 2 \cdot x_1$ .



**Rys. 17** - Zbiór równowagi to prosta  $x_1 = 0$ .

### 2.3.10. Obie wartości własne zerowe

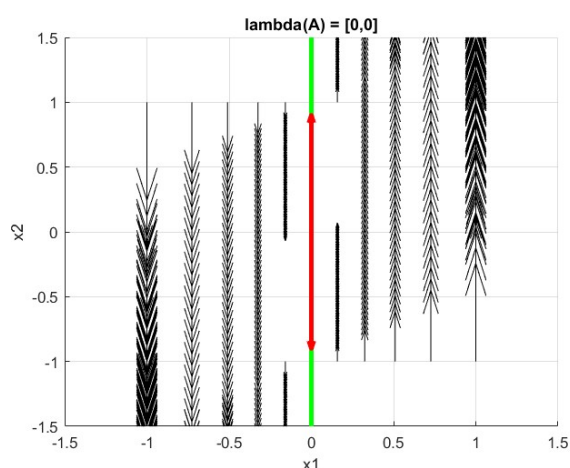
Wartości własne analizowanego układu:  $\lambda_1 = \lambda_2 = 0$ .

Macierz A:

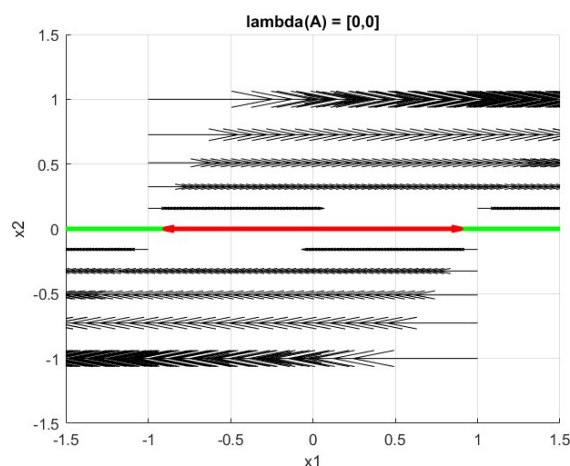
$$A = \begin{bmatrix} 0 & 0 \\ 1 & 0 \end{bmatrix}$$

Postać kanoniczna macierzy A:

$$A_k = \begin{bmatrix} 0 & 1 \\ 0 & 0 \end{bmatrix}$$



**Rys. 18** - Portret fazowy. Zbiór równowagi na prostej  $x_1 = 0$ .



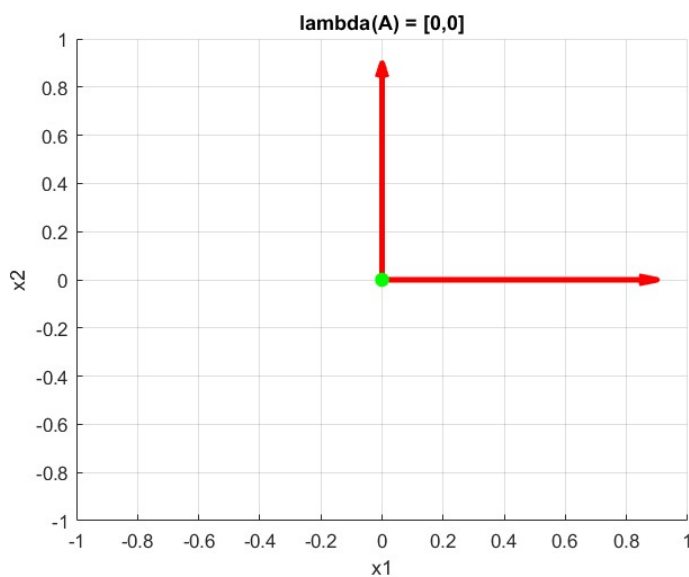
**Rys. 19** - Portret fazowy dla postaci kanonicznej. Zbiór równowagi na prostej  $x_2 = 0$ .

**2.3.11. Zerowa macierz A**

Wartości własne analizowanego układu:  $\lambda_1 = \lambda_2 = 0$ .

Macierz A:

$$A = \begin{bmatrix} 0 & 0 \\ 0 & 0 \end{bmatrix}$$



**Rys. 20** - Portret fazowy. Wszystkie możliwe stany układu z zerową macierzą A, zawierają się w punkcie  $(0,0)$ .

### 3. Wnioski

- Ważnym aspektem ćwiczenia było dokładne zapoznanie się z rodzajami portretów fazowych oraz ich cechami charakterystycznymi.
- Stabilność układu dynamicznego zależy od położenia biegunów transmitancji na płaszczyźnie zespolonej. Jeśli choć jeden z nich ma dodatnią wartość rzeczywistą, stabilność jest tracona - tak jak w 2.3.2..
- W przypadku, gdy przynajmniej jeden z biegunów jest równy 0, układ ma nieskończenie wiele punktów równowagi - tak jak w 2.3.9. i 2.3.10..
- Zerowe części rzeczywiste biegunów, przy niezerowych częściach urojonych, objawiają się obecnością niegasnących oscylacji układ jest na granicy stabilności - tak jak w 2.3.4..
- Bieguny transmitancji operatorowej są równe wartościom własnym macierzy  $A$ .
- Stabilność układu, można ocenić na podstawie analizy jego portretu fazowego, zwracając uwagę na kierunek strzałek. W ten sposób można też odnaleźć zbiory równowagi.
- Przejście do postaci kanonicznej macierzy  $A$ , wpływa na wygląd portretu fazowego dla układu. Dzięki temu portret jest „wyrównywany” - pozbywamy się odkształcenia, a wektory własne ustawiają się zgodnie z osiami  $x$  i  $y$ .
- W przypadku gdy układ ma zerową macierz  $A$ , jedyne możliwe wartości stanu to 0, wszystkie trajektorie fazowe zawierają się więc w punkcie  $(0,0)$ . Dlatego portret fazowy wydaje się być pustym wykresem.
- W analizowanych przypadkach punkt  $(0,0)$  zawsze był jednym z punktów równowagi układu. Jest to spowodowane zerową wartością drugiej części równania stanu  $(B \cdot u)$ .

### Literatura

- [1] Jerzy Baranowski, Krystyn Hajduk, Adam Korytowski, Wojciech Mitkowski, Andrzej Tujta, *Teoria sterowania. Materiały pomocnicze do ćwiczeń laboratoryjnych*, 2015, wyd. 2 poprawione.